

# FS3E: uma Ferramenta para Execução e Avaliação de Métodos de Seleção de Características para Detecção de Malwares Android

Estevão Costa<sup>1</sup>, Diego Kreutz<sup>2</sup>, Vanderson Rocha<sup>1</sup>, Luiza Leão<sup>1</sup>  
Sávio Sabóia<sup>1</sup>, Nicolas Neves<sup>1</sup>, Eduardo Feitosa<sup>1</sup>

<sup>1</sup>Universidade Federal do Amazonas (UFAM)

{ecc, lpml, savio.saboia, nicolas.neves, efeitoosa}@icompu.fam.br  
vanderson@ufam.edu.br

<sup>2</sup>Universidade Federal do Pampa (UNIPAMPA)

diegokreutz@unipampa.edu.br

**Resumo.** Atualmente, há dezenas de métodos sofisticados para a seleção de características de um dataset. Entretanto, é difícil encontrarmos a implementação para avaliar a qualidade dos métodos em conjuntos diversos de datasets. Como forma de apresentar uma primeira solução para esse problema, implementamos a FS3E, uma ferramenta para catalogar implementações e automatizar a avaliação de métodos sofisticados de seleção de características. Para demonstrar a funcionalidade e utilidade da FS3E, implementamos e disponibilizamos também cinco métodos sofisticados de seleção de características para o domínio de detecção de malwares Android.

## 1. Introdução

Os modelos utilizados no contexto de detecção de *malwares* Android são treinados e validados com *datasets* que contém amostras de aplicativos rotuladas em benigna ou maligna. Essas amostras costumam vir acompanhadas de diferentes tipos de características, como permissões, intenções, chamadas de API e componentes do aplicativo [Damodaran et al., 2017, Qiu et al., 2020].

O principal desafio dos modelos de detecção de *malwares* Android é trabalhar com a quantidade de dados contida nos *datasets*. Por exemplo, um *dataset* pode conter mais de 1 milhão de amostras e mais de 1 milhão de características [Roy et al., 2015], o que representa um desafio muito grande para o treinamento, validação e aplicação prática de modelos de aprendizado de máquina. Por exemplo, um *dataset* pequeno (e.g., apenas 6 mil amostras e 643 características) pode consumir praticamente 6 horas de processamento de uma CPU moderna [Cai et al., 2021].

No contexto de detecção de *malwares* Android, existem várias dezenas de métodos sofisticados de seleção de características [Mahindru and Sangal, 2019, Xiao et al., 2019, Lee et al., 2021, Mahindru and Sangal, 2021, Wu et al., 2022, Smmarwar et al., 2022], cujo objetivo é reduzir a dimensionalidade do *dataset* através da identificação assertiva das características mais significativas para a detecção de aplicativos maliciosos. Por exemplo, métodos como o SigPID [Sun et al., 2016], *Robust Feature Generation* (RFG) [Moutaz, 2020] e JOWNDroid [Cai et al., 2021] desempenham um papel importante no desenvolvimento de modelos de classificação otimizados,

pois evitam ambiguidades (e.g., características como a permissão `INTERNET`, utilizada tanto por aplicativos maliciosos quanto benignos) e levam a uma seleção criteriosa das características mais relevantes para a detecção de *malwares*. Essa redução de características, que pode chegar a mais de 90% em diversos casos [Soares et al., 2022], reduz substancialmente a dimensionalidade dos *datasets*, tornando a quantidade de dados viável para o treinamento, validação e aplicação prática dos modelos. Menos dados, mas qualitativamente mais expressivos e significativos, reduz o tempo de computação, melhora a escalabilidade dos modelos e aumenta a capacidade de generalização da classificação [Feizollah et al., 2015, Remeseiro and Bolon-Canedo, 2019, Venkatesh and Anuradha, 2019, Golrang et al., 2021].

Trabalhos existentes na literatura (e.g., [Nivaashini et al., 2018, Xiao et al., 2019, Anggraeni et al., 2021, Mahindru and Sangal, 2021, Wu et al., 2022]) propõe recorrentemente novos métodos de seleção de características e os comparam com um conjunto limitado de soluções existentes. Em alguns casos, os novos métodos são comparados apenas com relação a técnicas clássicas e generalistas de seleção de características, como chi-quadrado, ganho de informação, regressão linear e ANOVA. Trabalhos recentes, como o [Soares et al., 2022], avaliam e discutem, comparativamente, apenas quatro métodos sofisticados de seleção de características para o contexto de detecção de *malwares* Android. Porém, a reprodutibilidade e evolução desses trabalhos é comprometida devido a falta de um arcabouço de software, suficientemente desacoplado e modular, que seja capaz de continuamente incorporar e avaliar sistematicamente novos métodos sofisticados de seleção de características.

Neste trabalho, apresentamos a FS3E, de *Feature Selection Execution and Evaluation Engine*, uma ferramenta que disponibiliza um arcabouço de software para a incorporação simplificada e avaliação sistemática e automatizada dos mais diversos métodos sofisticados de seleção de características para o domínio de detecção de *malwares* Android. Na versão atual, a ferramenta incorpora cinco métodos avançados de seleção de características (SigPID [Sun et al., 2016], RFG [Moutaz, 2020], SigAPI [Galib and Hossain, 2020], ALR [Şahin et al., 2021] e JOWNDroid [Cai et al., 2021]). Adicionalmente, a FS3E incorpora também um módulo de modelos de aprendizado de máquina para avaliação e comparação dos resultados dos métodos de seleção de características, que disponibiliza implementações utilizando os algoritmos SVM e RandomForest (RF), considerados os mais amplamente utilizados e, frequentemente, com os melhores desempenhos de classificação no domínio de detecção de *malwares* Android [Sharma and Rattan, 2021]. É importante destacarmos que a incorporação de novos métodos de seleção de características é simples e bem estruturada na FS3E, como detalharemos nas próximas seções. Com esse arcabouço de software, acreditamos que tornaremos mais factível a reprodutibilidade e a consolidação de trabalhos que propõe novos métodos sofisticados de seleção de características, simplificando e acelerando a análise comparativa dos métodos, por exemplo.

O restante do trabalho está organizado como segue. Nas Seções 2 e 3 apresentamos as etapas de processamento, o fluxo de dados e a implementação da FS3E. Por fim, nas Seções 4 e 5 apresentamos resultados de utilização prática da ferramenta, detalhes da demonstração e considerações finais.

## 2. FS3E: Etapas e Fluxo de Dados

Na Figura 1 apresentamos as etapas e o fluxo de dados da ferramenta FS3E. Como pode ser observado, ela é composta por três etapas distintas: (a) **métodos** de seleção de características, (b) **avaliação** com modelos de aprendizado de máquina, e (c) **visualização** dos resultados.

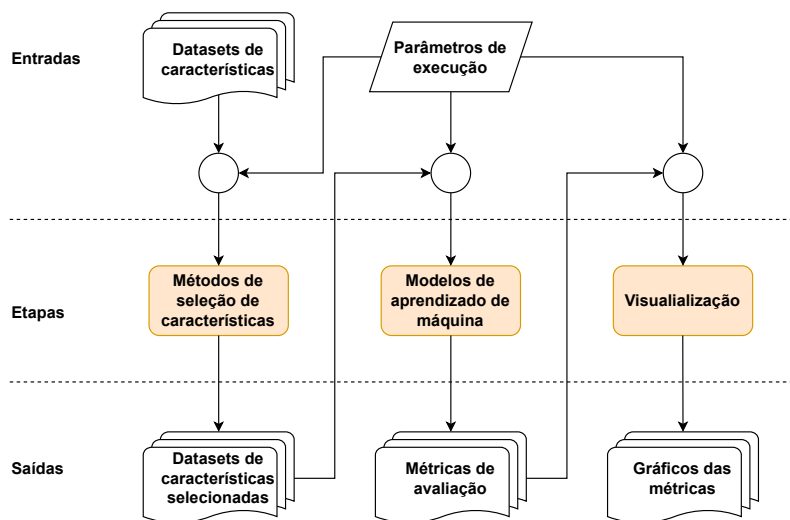


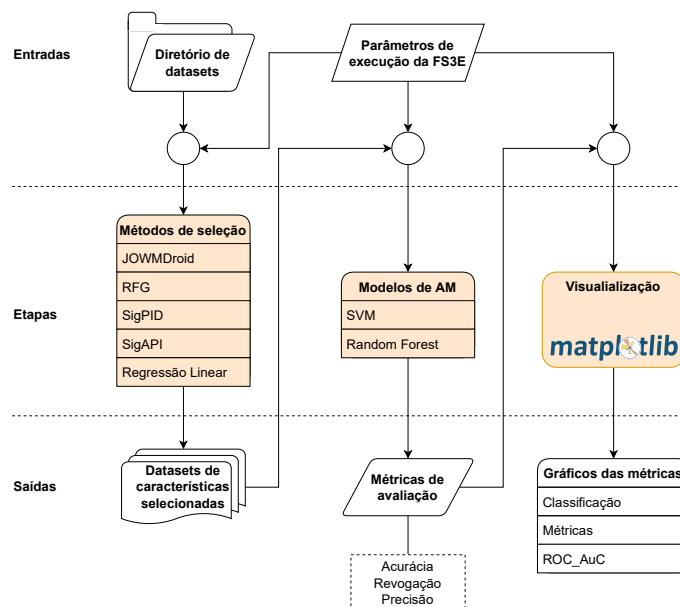
Figura 1. Etapas e fluxo de dados da FS3E

A primeira etapa são aplicados, sobre cada *dataset* de **entrada**, os **modelos** de seleção de características escolhidos pelo usuário. Cada método gera um novo conjunto de dados contendo as características identificadas como as mais relevantes, isto é, reduzindo a dimensionalidade do *dataset* original. As **saídas** desta etapa (i.e., novos *datasets*) servem de **entrada** para a etapa seguinte, a **avaliação** utilizando modelos de aprendizado de máquina. A **saída** desta segunda etapa são as métricas de avaliação (e.g., acurácia, revocação e precisão), que representam os dados de **entrada** da etapa de **visualização**. Nesta etapa final, são gerados gráficos das métricas para facilitar a interpretação e análise comparativas dos resultados gerados pela combinação de métodos de seleção de características e modelos de aprendizado de máquina.

## 3. Implementação

Na Figura 2 apresentamos uma visão geral da implementação da FS3E, desenvolvida e testada com Python versão 3.10.4, pip versão 22.0.2 e os módulos-versões `pandas-1.4.3`, `seaborn-0.11.2`, `scikit-learn-1.1.2`, `matplotlib-3.5.2`, `mlxtend-0.20.0`, `numpy-1.23.1` e `tqdm-4.64.0`. Os métodos de seleção de características estão organizados em um repositório específico do sistema de arquivos. Cada método precisa incorporar apenas um “invocador padrão”, representado por um *shell script* denominado `run.sh`, contido no diretório da implementação de cada método. O “invocador padrão” recebe os parâmetros de execução da ferramenta (e.g., nomes dos arquivos de entrada e de saída) e executa o respectivo método. Essa organização torna possível um acoplamento fraco, isto é, não é necessário configurar ou mexer no código da FS3E, simplificando e agilizando o processo de inclusão de novos métodos de seleção de características. Resumidamente, para adicionar

um novo método, basta criar uma nova pasta para o método e disponibilizar o “invocador padrão” `run.sh`. A partir disso, o método passa a estar automaticamente disponível na lista de parâmetros de entrada da FS3E. Na versão atual, a ferramenta disponibiliza os métodos SigPID, SigAPI, ALR, RFG e JOWMDroid.



**Figura 2. Implementação da ferramenta FS3E**

Na segunda etapa, os modelos de aprendizado de máquina, utilizados na avaliação, recebem a saída dos métodos de seleção, isto é, um *dataset* contendo apenas as características selecionadas. Na versão atual da ferramenta, estão disponíveis dois modelos de aprendizado de máquina, o SVM e o RF.

Finalmente, na etapa de visualização, a ferramenta recebe as métricas de saída dos modelos de aprendizado de máquina e apresenta os resultados, agrupados, na forma de três tipos de gráficos, classificação, métricas e ROC\_AuC.

## 4. Resultados

Esta seção apresenta os *datasets* e o ambiente de execução (Seção 4.1), os resultados das reduções de dimensionalidade dos cinco métodos de seleção de características (Seção 4.2) e os gráficos das métricas geradas pelos modelos de aprendizado de máquina (Seção 4.3).

### 4.1. Datasets

A relação dos *datasets* utilizados nos testes é sumarizada na Tabela 1. Ao todo, são nove *datasets* com diferentes tipos e quantidades (# **Cars**) de características e também variados números de amostras (# **Ams.**) e proporções entre benignos e malignos (**B:M**). Os *datasets* também estão disponíveis no repositório da FS3E<sup>1</sup>.

Os testes foram realizado em um computador com processador Intel(R) Core(TM) i7-1185G7 3.00GHz da geração 11, memória RAM de 32GB, executando um Linux Ubuntu 20.04.3 LTS 64 bit.

<sup>1</sup><https://github.com/Malware-Hunter/sf22-fs3e>

**Tabela 1. Detalhamento dos *datasets***

Dataset	Tipos de características	# Cars.	# Ams.	B:M
motodroid_all	Permissões, Chamadas de API, Intenções, etc.	3048	46.670	15,4:1
motodroid_permissions	Permissões	1.316		
motodroid_api_calls	Chamadas de API	1.524		
androcrawl_all	Permissões, Chamadas de API, Intenções, etc.	81	96.732	8,5:1
androcrawl_permissions	Permissões	49		
androcrawl_api_calls	Chamadas de API	24		
drebin_215_all	Permissões, Chamadas de API, Intenções, etc.	215	15.031	1,7:1
drebin_215_permissions	Permissões	113		
drebin_215_api_calls	Chamadas de API	73		

#### 4.2. Métodos de Seleção

A Tabela 2 apresenta um resumo das reduções de dimensionalidade para os nove *datasets* apresentados na Tabela 1. É importante destacarmos que cada método é especializado para um (ou mais) tipo de características. Por exemplo, o método JOWMDroid foi projetado para trabalhar simultaneamente com diferentes tipos de características (e.g., permissões, chamadas de API, componentes do aplicativo). Este é o motivo pelo qual ele é o único método aplicado sobre os *datasets* finalizados por `_all`.

**Tabela 2. Redução de dimensionalidade dos métodos de seleção de características**

Dataset	Medida	JOWMDroid	SigPID	ALR	SigAPI	RFG
drebin_215_all	Redução (%)	82,30	–	–	–	–
	Tempo (s)	14,77	–	–	–	–
motodroid_all	Redução (%)	95,70	–	–	–	–
	Tempo (s)	788,89	–	–	–	–
androcrawl_all	Redução (%)	88,89	–	–	–	–
	Tempo (s)	49,76	–	–	–	–
drebin_215_permissions	Redução (%)	–	71,68	69,03	–	–
	Tempo (s)	–	47,96	2,06	–	–
motodroid_permissions	Redução (%)	–	99,77	46,05	–	–
	Tempo (s)	–	7106,16	745,83	–	–
androcrawl_permissions	Redução (%)	–	87,76	97,96	–	–
	Tempo (s)	–	176,43	3,02	–	–
drebin_215_api_calls	Redução (%)	–	–	–	79,45	71,23
	Tempo (s)	–	–	–	540,636	203,05
motodroid_api_calls	Redução (%)	–	–	–	–	8,07
	Tempo (s)	–	–	–	–	4322,94
androcrawl_api_calls	Redução (%)	–	–	–	95,83	12,50
	Tempo (s)	–	–	–	314,55	391,39

Outros métodos, como o SigPID e ALR, são especializados em reduzir a dimensionalidade de *datasets* contendo apenas permissões. Por fim, métodos como o SigAPI

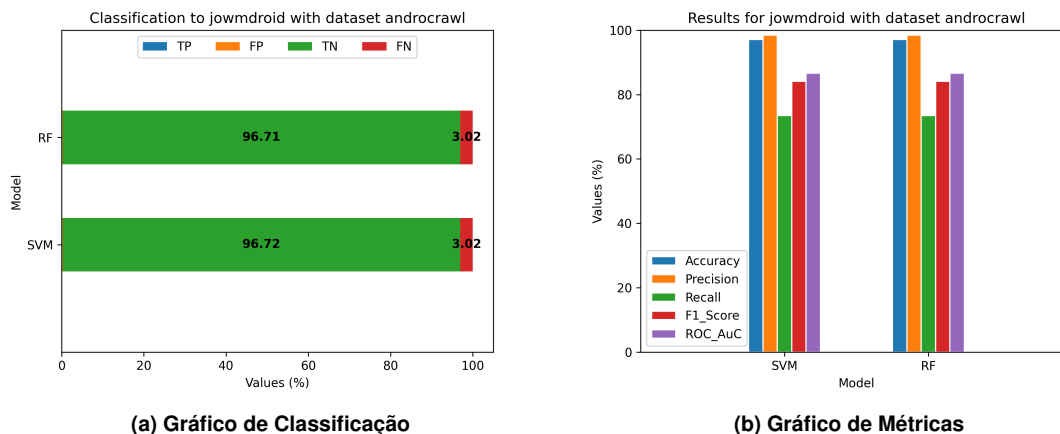


Figura 3. Gráficos gerados pela FS3E

e o RFG são especializados em reduzir a dimensionalidade de *datasets* contendo apenas chamadas de API.

Como podemos observar na Tabela 2, a redução de dimensionalidade e o tempo de computação necessário varia entre os *datasets* e métodos. Por exemplo, a redução é menor (e.g., 82,30%) em *datasets* como o drebin\_215\_all, pois ele possui um conjunto de características mais significativas para a detecção de *malwares* Android. Outros *datasets*, como o motodroid\_all, possuem mais características, entretanto, a maioria delas mais esparsas e menos significativas. Consequentemente, a redução é mais significativa (e.g., 95,70%).

Nos *datasets* de tipos específicos de características ocorre algo similar. Por exemplo, o nível de redução cai ainda mais (71,68%) para o drebin\_215\_permissions, que contém 113 permissões. Isto ocorre por que o número de permissões relevantes, para detecção de *malwares*, é proporcionalmente maior quando comparada com todas as características contidas no *dataset* (i.e., drebin\_215\_all).

### 4.3. Gráficos das Métricas

A Figura 3 apresenta exemplos de saídas gráficas da FS3E para o *dataset* androcrawl\_all e o método de seleção de características JOWMDroid. Como podemos observar na Figura 3b, as características selecionadas pelo JOWMDroid levam a modelos de aprendizado de máquina SVM e RF bons, ou seja, taxas de ROC\_AuC acima de 80%. Apesar de a acurácia e precisão ficarem acima de 95%, o *recall* ficou abaixo de 80%. Para detecção de *malwares* Android, é importante que esta métrica seja elevada, pois ela identifica a porcentagem de amostras maliciosas corretamente classificadas. Os gráficos para os demais *datasets* e métodos podem ser encontrados no repositório da ferramenta.

Tanto o repositório de métodos de seleção de características, quanto a execução automatizada e os gráficos gerados, são recursos importantes e úteis para todos os desenvolvedores ou pesquisadores que desejam avaliar o estado da arte ou propor novos métodos de seleção de características. Acreditamos que um arcabouço de software deste tipo é um importante passo para termos pesquisas mais reprodutíveis e novos avanços na detecção de *malwares* Android sofisticados. Atualmente, a maioria dos métodos de

seleção de características, propostos na literatura, são frequentemente comparados apenas com técnicas tradicionais de uso geral (e.g., análise de componente principal, ganho de informação) e *datasets* limitados (e.g., construídos pelos próprios autores). Conforme identificamos em um levantamento bibliográfico, muitas vezes, os *datasets* dos trabalhos nem sequer estão disponíveis.

## 5. Considerações Finais

**Demonstração.** O código-fonte, documentação e instruções de instalação estão disponíveis no repositório da FS3E<sup>2</sup>. A demonstração da ferramenta será realizada através de um ambiente em dispositivo próprio dos autores. O funcionamento da ferramenta será demonstrado através dos seguintes passos: (a) apresentação dos parâmetros de execução da ferramenta; (b) apresentação da organização da implementação (e.g., como incluir novo método de seleção de características); (c) apresentação da execução e resultados para um conjunto de *datasets*.

**Conclusão.** Neste trabalho apresentamos a FS3E, um arcabouço de software que permite a inclusão de novos métodos seleção de características e modelos de aprendizado de máquina, bem como sua execução e avaliação de forma completamente automatizada, potencializando a reprodutibilidade e a avaliação sistemática de novos métodos sofisticados de seleção de características. Como trabalhos futuros, podemos destacar: (a) inclusão de novos métodos de seleção de características; (b) implementação e disponibilização de outros modelos de aprendizado de máquina; e (c) inclusão e avaliação dos métodos de seleção de características em grupos maiores de *datasets*, buscando analisar e identificar o comportamento de cada método em diferentes conjuntos de dados.

**Agradecimentos.** Esta pesquisa foi parcialmente financiada, conforme previsto nos Arts. 21 e 22 do decreto no. 10.521/2020, nos termos da Lei Federal no. 8.387/1991, através do convênio no. 003/2021, firmado entre ICOMP/UFAM, Flextronics da Amazônia Ltda e Motorola Mobility Comércio de Produtos Eletrônicos Ltda. O presente trabalho foi realizado também com apoio da Coordenação de Aperfeiçoamento de Pessoal de Nível Superior – Brasil (CAPES) – Código de Financiamento 001.

## Referências

- Anggraeni, A., Mustofa, K., and Priyanta, S. (2021). Comparison of filter and wrapper based feature selection methods on spam comment classification. *IJCCS*, 15(3):245–254.
- Cai, L., Li, Y., and Xiong, Z. (2021). JOWMDroid: Android malware detection based on feature weighting with joint optimization of weight-mapping and classifier parameters. *Computers & Security*, 100:102086.
- Damodaran, A., Di Troia, F., Visaggio, C. A., Austin, T., and Stamp, M. (2017). A comparison of static, dynamic, and hybrid analysis for malware detection. *Journal of Computer Virology and Hacking Techniques*, 13.
- Feizollah, A., Anuar, N. B., Salleh, R., and Wahab, A. W. A. (2015). A review on feature selection in mobile malware detection. *Digital Investigation*, 13:22–37.
- Galib, A. H. and Hossain, B. M. M. (2020). Significant API calls in android malware detection (using feature selection techniques and correlation based feature elimination). In García-Castro, R., editor, *The 32nd SEKE*, pages 566–571. KSI Research Inc.

---

<sup>2</sup><https://github.com/Malware-Hunter/sf22-fs3e>

- Golrang, A., Yayilgan, S. Y., and Elezaj, O. (2021). The multi-objective feature selection in android malware detection system. In Yildirim Yayilgan, S., Bajwa, I. S., and Sanfilippo, F., editors, *Intelligent Technologies and Applications*, pages 311–322, Cham.
- Lee, J., Jang, H., Ha, S., and Yoon, Y. (2021). Android malware detection using machine learning with feature selection based on the genetic algorithm. *Mathematics*, 9(21).
- Mahindru, A. and Sangal, A. L. (2019). DeepDroid: Feature selection approach to detect android malware using deep learning. In *ICSESS*, pages 16–19.
- Mahindru, A. and Sangal, A. L. (2021). Semidroid: a behavioral malware detector based on unsupervised machine learning techniques using feature selection approaches. *International Journal of Machine Learning and Cybernetics*, 12:1411.
- Moutaz, A. (2020). Automated malware detection in mobile app stores based on robust feature generation. *Electronics*, 9:435.
- Nivaashini, M., Soundariya, R. S., Vidhya Shri, H., and Thangaraj, P. (2018). Comparative analysis of feature selection methods and machine learning algorithms in permission based android malware detection. In *I2C2SW*, pages 72–77.
- Qiu, J., Zhang, J., Luo, W., Pan, L., Nepal, S., and Xiang, Y. (2020). A survey of android malware detection with deep neural models. *ACM Comput. Surv.*, 53(6).
- Remeseiro, B. and Bolon-Canedo, V. (2019). A review of feature selection methods in medical applications. *Computers in Biology and Medicine*, 112:103375.
- Roy, S., DeLoach, J., Li, Y., Herndon, N., Caragea, D., Ou, X., Ranganath, V. P., Li, H., and Guevara, N. (2015). Experimental study with real-world data for android app security analysis using machine learning. In *31st ACSAC*, page 81–90, New York, NY, USA. Association for Computing Machinery.
- Sharma, T. and Rattan, D. (2021). Malicious application detection in android—a systematic literature review. *Computer Science Review*, 40:100373.
- Smmarwar, S. K., Gupta, G. P., and Kumar, S. (2022). A hybrid feature selection approach-based android malware detection framework using machine learning techniques. In Agrawal, D. P., Nedjah, N., Gupta, B. B., and Martinez Perez, G., editors, *Cyber Security, Privacy and Networking*, pages 347–356, Singapore. Springer Nature Singapore.
- Soares, T., Kreutz, D., Rocha, V., Costa, E., Leao, L., Pontes, J., Assolin, J., Rodrigues, G., and Feitosa, E. (2022). Uma análise de métodos de seleção de características aplicados à detecção de malwares android. In *SBSeg22*.
- Sun, L., Li, Z., Yan, Q., Srisa-an, W., and Pan, Y. (2016). SigPID: significant permission identification for android malware detection. In *MALWARE*, pages 1–8.
- Venkatesh, B. and Anuradha, J. (2019). A review of feature selection and its methods. *Cybernetics and Information Technologies*, 19(1):3–26.
- Wu, Y., Li, M., Wang, J., Fang, Z., Zeng, Q., Yang, T., and Cheng, L. (2022). Droidrl: Reinforcement learning driven feature selection for android malware detection. <https://arxiv.org/abs/2203.02719>.
- Xiao, J., Xu, K., and Duan, J. (2019). Malicious android application detection based on composite features. In *Proceedings of the 3rd International Conference on Computer Science and Application Engineering*, CSAE 2019, New York, NY, USA. Association for Computing Machinery.
- Şahin, D., Kural, O., Akleyek, S., and Kilic, E. (2021). A novel permission-based android malware detection system using feature selection based on linear regression. *Neural Computing and Applications*, pages 1–16.